

Т. А. МАРТЫНОВИЧ, В. Е. ЮРИНЕЦ, И. А. НИЦЕНКО

НЕОДНОРОДНАЯ ОРТОТРОПНАЯ ПОЛУПЛОСКОСТЬ С ПОДКРЕПЛЕННЫМ КРАЕМ

1. Рассмотрим полубесконечную ($y \leq 0$) неоднородную ортотропную полуплоскость толщиной $2h$, прямолинейный край которой по всей длине подкреплен упругим стержнем постоянного сечения. Сопряжение пластинки со стержнем осуществляется на фактической плоскости их спая. Модули упругости и модуль сдвига пластинки-полуплоскости меняются по закону

$$E_1(y) = E_1^{(0)} e^{-ky}, \quad E_2(y) = E_2^{(0)} e^{-ky}, \quad G(y) = G^{(0)} e^{-ky} \quad (1.1)$$

где k —величина, характеризующая степень неоднородности материала. Предполагается, что модуль сдвига $G^{(0)}$ связан с модулями упругости $E_1^{(0)}$ и $E_2^{(0)}$ следующим образом:

$$G^{(0)} = \frac{E_1^{(0)} E_2^{(0)}}{E_1^{(0)}(1 + 2\nu_2) - E_2^{(0)}} \quad (1.2)$$

что дает возможность, как будет показано ниже, рассматривать численные примеры в относительных величинах $E_1^{(0)}/E_2^{(0)}$. В противном случае для $G^{(0)}$ можно брать конкретные числовые данные, не учитывая выражения (1.2). Коэффициенты Пуассона ν_1 и ν_2 приняты постоянными.

К стержню приложены внешние усилия $N(x)$ и $T(x)$ (N, T —нормальная и касательная составляющие заданных усилий). Со стороны стержня на пластинку будут передаваться контактные (внутренние) усилия $N^{(0)}(x)$, $T^{(0)}(x)$. Следовательно, на контуре спая пластинки со стержнем ($y = 0$) имеются следующие условия сопряжения (фиг. 1):

$$(u_1)_{y=0} = u_2, \quad (v_1)_{y=0} = v_2, \quad (\varepsilon_y)_{y=0} = N^{(0)}(x), \quad (\varepsilon_{xy})_{y=0} = T^{(0)}(x) \quad (1.3)$$

где u_1, v_1 и u_2, v_2 — компоненты вектора смещения пластинки и стержня соответственно.

Пластиника испытывает обобщенное плоское напряженное состояние.

2. При малых деформациях в отсутствии объемных сил зависимость между компонентами вектора перемещений и деформаций для пластинки в случае обобщенного плоского напряженного состояния дается соотношениями

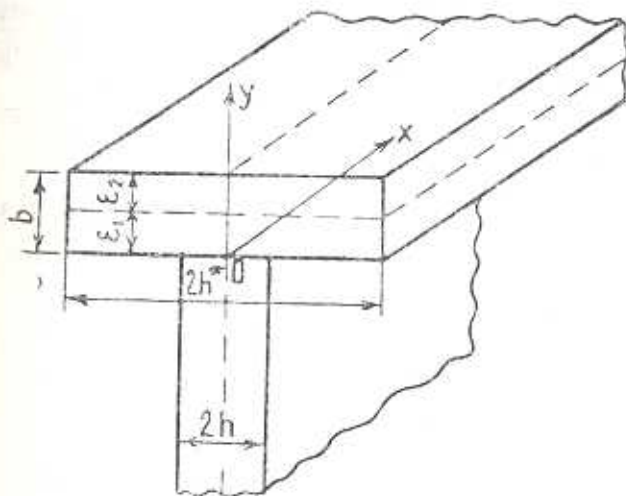
$$\frac{\partial u_1}{\partial x} = \varepsilon_x, \quad \frac{\partial v_1}{\partial y} = \varepsilon_y, \quad \frac{\partial u_1}{\partial y} + \frac{\partial v_1}{\partial x} = \gamma_{xy} \quad (2.1)$$

и удовлетворяются условия совместности [1]

$$\frac{\partial^2 \varepsilon_x}{\partial y^2} + \frac{\partial^2 \varepsilon_y}{\partial x^2} - \frac{\partial^2 \gamma_{xy}}{\partial x \partial y} = 0 \quad (2.2)$$

Уравнения обобщенного закона Гука, которые связывают компоненты деформаций с компонентами тензора напряжений для ортотропной пластины, имеют вид

$$\varepsilon_x = \frac{1}{E_1} (\sigma_x - \nu_1 \sigma_y), \quad \varepsilon_y = \frac{1}{E_2} (\sigma_y - \nu_2 \sigma_x), \quad \gamma_{xy} = \frac{1}{G} \tau_{xy} \quad (2.3)$$



Фиг. 1.

Компоненты тензора напряжений удовлетворяют условиям равновесия

$$\frac{\partial \sigma_x}{\partial x} + \frac{\partial \tau_{xy}}{\partial y} = 0, \quad \frac{\partial \sigma_y}{\partial y} + \frac{\partial \tau_{xy}}{\partial x} = 0 \quad (2.4)$$

Подставляя выражения (2.3) в уравнения (2.2), получим

$$\frac{\partial^2}{\partial y^2} \left[\frac{1}{E_1} \left(\frac{\partial^2 F}{\partial y^2} - \nu_1 \frac{\partial^2 F}{\partial x^2} \right) \right] + \frac{\partial}{\partial y} \left(\frac{1}{G} \frac{\partial^3 F}{\partial x^2 \partial y} \right) + \frac{1}{E_2} \left(\frac{\partial^4 F}{\partial x^4} - \nu_2 \frac{\partial^4 F}{\partial x^2 \partial y^2} \right) = 0 \quad (2.5)$$

где $F(x, y)$ — функция напряжений, через которую компоненты тензора напряжений выражаются следующим образом:

$$\sigma_x = \frac{\partial^2 F}{\partial y^2}, \quad \sigma_y = \frac{\partial^2 F}{\partial x^2}, \quad \tau_{xy} = -\frac{\partial^2 F}{\partial x \partial y} \quad (2.6)$$

Из уравнений (2.1), (2.3), (2.4), (2.6) и (1.1) находим

$$\begin{aligned} \frac{\partial^3 u_1}{\partial x^3} &= \frac{1}{E_1} \left(\frac{\partial^4 F}{\partial x^2 \partial y^2} - \nu_1 \frac{\partial^4 F}{\partial x^4} \right) \\ \frac{\partial^4 v_1}{\partial x^4} &= \left(\frac{\nu_1}{E_1} - \frac{1}{G} \right) \frac{\partial^5 F}{\partial x^4 \partial y} - \frac{1}{E_1} \frac{\partial^3 F}{\partial x^2 \partial y^3} - \frac{k}{E_1} \left(\frac{\partial^4 F}{\partial x^2 \partial y^2} - \nu_1 \frac{\partial^4 F}{\partial x^4} \right) \end{aligned} \quad (2.7)$$

В работе используется интегральное преобразование Фурье по переменной x

$$\tilde{f}(t, y) = \frac{1}{\sqrt{2\pi}} \int_{-\infty}^{\infty} f(x, y) e^{ixt} dx, \quad f(x, y) = \frac{1}{\sqrt{2\pi}} \int_{-\infty}^{\infty} \tilde{f}(t, y) e^{-ixt} dt. \quad (2.8)$$

Подставляя выражения (1.1), (1.2) в уравнения (2.5) и применяя интегральное преобразование Фурье (2.8), получим

$$\begin{aligned} \frac{d^4 \tilde{F}}{dy^4} + 2k \frac{d^3 \tilde{F}}{dy^3} - \left\{ k^2 - i^2 \left[\frac{E_1^{(0)}}{E_2^{(0)}} (1 + 2\gamma_2) + (1 - 2\gamma_1) \right] \right\} \frac{d^2 \tilde{F}}{dy^2} - \\ - i^2 k \left[\frac{E_1^{(0)}}{E_2^{(0)}} (1 + 2\gamma_2) + (1 - 2\gamma_1) \right] \frac{d\tilde{F}}{dy} + i^2 \left(i^2 \frac{E_1^{(0)}}{E_2^{(0)}} + \gamma_1 k^2 \right) \tilde{F} = 0 \end{aligned} \quad (2.9)$$

Решение однородного дифференциального уравнения (2.9) запишется в виде

$$\tilde{F}(t, y) = \sum_{n=1}^4 C_n e^{\left| z_n - \frac{k}{2} \right| y} \quad (2.10)$$

где C_n удовлетворяет уравнению

$$\begin{aligned} z_n^4 - 2 \left\{ \frac{k^2}{4} + \frac{i^2}{2} \left[\frac{E_1^{(0)}}{E_2^{(0)}} (1 + 2\gamma_2) + (1 - 2\gamma_1) \right] \right\} z_n^2 + \\ + \frac{k^4}{16} + \frac{1}{4} k^2 i^2 \left[\frac{E_1^{(0)}}{E_2^{(0)}} (1 + 2\gamma_2) + (1 - 2\gamma_1) \right] + \\ + \frac{i^4}{4} \left[\frac{E_1^{(0)}}{E_2^{(0)}} (1 + 2\gamma_2) + (1 - 2\gamma_1) \right]^2 = \\ = i^4 \left\{ \frac{1}{4} \left[\frac{E_1^{(0)}}{E_2^{(0)}} (1 + 2\gamma_2) + (1 - 2\gamma_1) \right]^2 - \frac{E_1^{(0)}}{E_2^{(0)}} \right\} - i^2 \gamma_1 k^2 \end{aligned} \quad (2.11)$$

Из уравнения (2.11) находим

$$z_n = \pm \sqrt{\frac{k^2}{4} + p_0 i^2 \pm i \sqrt{i^2 (p_0^2 - k_0^2) - \gamma_1 k^2}} \quad (2.12)$$

где обозначено

$$k_0 = \frac{E_1^{(0)}}{E_2^{(0)}}, \quad p_0 = \frac{1}{2} [k_0 (1 - 2\gamma_2) + (1 - 2\gamma_1)]$$

Так как на бесконечности напряжения должны равняться нулю, то в решении уравнения (2.9) в виде (2.10) с учетом (2.12) нужно удержать члены, исчезающие на бесконечности. Тогда

$$\bar{F}(\kappa, y) = C_1 e^{\left(z_1 - \frac{k}{2}\right)y} + C_2 e^{\left(z_2 - \frac{k}{2}\right)y} \quad (2.13)$$

где

$$z_{1,2} = \sqrt{\frac{k^2}{4} + p_0 \dot{\nu}^2 \pm i\sqrt{\dot{\nu}^2(p_0^2 - k_0^2) - \gamma_1 k^2}} \quad (2.14)$$

Применяя к уравнениям (2.7) интегральное преобразование Фурье (2.8) и подставляя в них выражение (2.13), учитывая при этом граничные условия (1.3), будем иметь

$$\begin{aligned} (\ddot{\nu}^3 \bar{u}_1)_{y=0} &= \frac{1}{E_1^{(0)}} (s_1 \bar{N}^{(0)} + \ddot{\nu} s_2 \bar{T}^{(0)}) \\ (\ddot{\nu}^4 \bar{v}_1)_{y=0} &= \frac{1}{E_1^{(0)}} (s_2 \bar{N}^{(0)} + \ddot{\nu} s_1 \bar{T}^{(0)}) \end{aligned} \quad (2.15)$$

Здесь введены обозначения

$$s_1 = \gamma_1 \dot{\nu}^2 - z_1 z_2 + \frac{k}{2} (z_1 - z_2) - \frac{k^2}{4}, \quad s_2 = z_1 + z_2 - k$$

$$s_3 = (z_1 + z_2) \left| z_1 z_2 - \frac{k}{2} (z_1 + z_2) + \frac{k^2}{4} \right|$$

$$s_4 = \frac{k^2}{4} + \frac{k}{2} (z_1 + z_2) - (z_1^2 + z_1 z_2 + z_2^2) - \dot{\nu}^2 [\gamma_1 - k_0(1 + 2\gamma_1) - 1]$$

3. Расчет стержня основывается на гипотезе плоского нормального сечения. Исходя из уравнений равновесия элемента стержня, находим

$$\begin{aligned} \frac{d^2 M}{dx^2} &= 2h^* \left(N - z_2 \frac{dT}{dx} \right) - 2h \left(N^{(0)} + z_1 \frac{dT^{(0)}}{dx} \right) \\ \frac{dV}{dx} &= 2h^* T - 2h T^{(0)}; \quad Q = - \frac{dM}{dx} + z_1 \frac{dV}{dx} - 2h^* b T \end{aligned} \quad (3.1)$$

где V, Q — продольное и поперечное усилия; M — момент, действующий в произвольном сечении стержня; e_1, e_2 — расстояния волокон стержня от его оси соответственно внутреннего и внешнего края; $b = e_1 + e_2$ — высота стержня; $2h^*$ — толщина того края стержня, который не соприкасается с пластинкой.

Принимая гипотезу нормального сечения, при малых деформациях вдоль контура спая пластиинки со стержнем будем иметь следующие кинематические соотношения

$$\frac{du_2}{dx} = e_0 + z_1 \frac{d\theta}{dx}, \quad \frac{dv}{dx} = \theta \quad (3.2)$$

где θ — угол поворота сечения стержня, e_0 — деформация оси стержня.

При малых деформациях закон Гука для стержня сводится к следующим соотношениям

$$e_0 = \frac{V}{g_1}, \quad \frac{d\vartheta}{dx} = \frac{M}{g_2} \quad (3.3)$$

где $q_i = E^* S_i$ — жесткость стержня на растяжение, $g_i = E^* I$ — жесткость стержня на изгиб, S_i — площадь нормального сечения стержня, E^* — модуль упругости, I — момент инерции.

Из равенств (3.1), (3.2) и (3.3), используя интегральное преобразование Фурье (2.8), находим

$$\begin{aligned} \ddot{\nu}^3 \bar{u}_2 &= -\frac{2h\varepsilon_1}{g_2} \bar{N}^{(i)} - \ddot{\nu} \cdot \frac{2h}{G_1} \bar{T}^{(i)} - \frac{2h^* \varepsilon_1}{g_2} \bar{N} + \ddot{\nu} \cdot \frac{2h^*}{G_2} \bar{T} \\ \ddot{\nu}^3 \bar{v}_2 &= -\frac{2h}{g_2} \bar{N}^{(i)} - \ddot{\nu} \cdot \frac{2h\varepsilon_1}{g_2} \bar{T}^{(i)} + \frac{2h^*}{g_2} \bar{N} - \ddot{\nu} \cdot \frac{2h^* \varepsilon_2}{g_2} \bar{T} \end{aligned} \quad (3.4)$$

где

$$\frac{1}{G_1} = \frac{1}{g_1} + \frac{\varepsilon_1^2}{g_2}, \quad \frac{1}{G_2} = \frac{1}{g_1} - \frac{\varepsilon_1 \varepsilon_2}{g_2}$$

4. Исходя из условий равенства перемещений на контуре спая (1.3), на основании соотношений (2.15) и (3.4) получим

$$\begin{aligned} a_{11} \bar{N}^{(i)} + a_{12} \bar{T}^{(i)} &= b_{11} \bar{N} + b_{12} \bar{T} \\ a_{21} \bar{N}^{(i)} + a_{22} \bar{T}^{(i)} &= b_{21} \bar{N} + b_{22} \bar{T} \end{aligned} \quad (4.1)$$

где

$$a_{11} = 2h\varepsilon_1 + \frac{g_2 S_1}{E_1^{(0)}}, \quad a_{12} = \ddot{\nu} \cdot \left(2h \frac{g_2}{G_1} + \frac{g_2 S_2}{E_1^{(0)}} \right)$$

$$a_{21} = 2h + \frac{g_2 S_2}{E_1^{(0)}}, \quad a_{22} = \ddot{\nu} \cdot \left(2h\varepsilon_1 + \frac{g_2 S_1}{E_1^{(0)}} \right)$$

$$b_{11} = 2h^* \varepsilon_1, \quad b_{12} = \ddot{\nu} \cdot \frac{2h^* g_2}{G_2}, \quad b_{21} = 2h^*, \quad b_{22} = -\ddot{\nu} \cdot 2h^* \varepsilon_2$$

Система уравнений (4.1) служит для определения трансформант контактных усилий $\bar{N}^{(i)}$, $\bar{T}^{(i)}$ при подкреплении неоднородной ортотропной полуплоскости прямолинейным стержнем. Сами же усилия восстанавливаются при помощи формулы обращения (2.8).

Рассмотрим случай нагружения подкрепляющего стержня нормальным усилием $N(x)$ ($T = 0$). Тогда

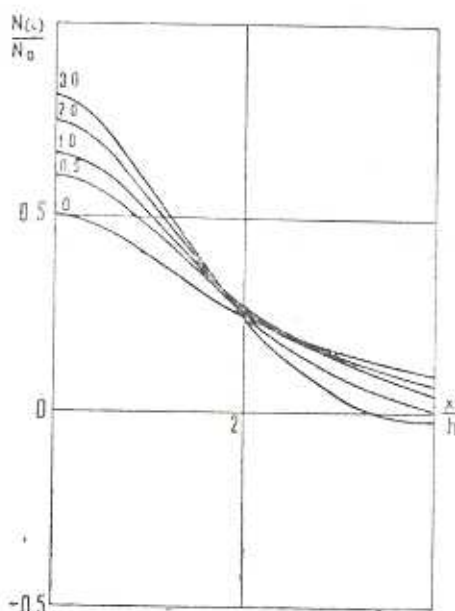
$$b_{12} = b_{22} = 0 \quad (4.2)$$

Решение системы уравнений (4.1) в этом случае с учетом формулы обращения (2.8) можно представить в виде

$$\begin{aligned} N^{(i)}(x) &= \frac{b_{21}}{\pi} \int_0^{\infty} \frac{R_1(i)}{R(i)} dt \int_{-\infty}^{\infty} N(t) \cos i(t-x) dt \\ T^{(i)}(x) &= \frac{b_{21}}{\pi} \int_0^{\infty} \frac{R_2(i)}{R(i)} dt \int_{-\infty}^{\infty} N(t) \sin i(t-x) dt \end{aligned} \quad (4.3)$$

где

$$\begin{aligned} R(i) &= a_{11}a_{22}^* - a_{12}^*a_{21}, \quad R_1(i) = z_1a_{22}^* - a_{12}^* \\ R_2(i) &= a_{11} - z_1a_{21}, \quad a_{12}^* = \frac{2hg_2}{G_1} + \frac{g_2s_2}{E_1^{(0)}}, \quad a_{22}^* = 2hz_1 + \frac{g_2s_1}{E_1^{(0)}} \end{aligned}$$



Фиг. 2.

Если на стержень действует сосредоточенная сжимающая сила N_0 , то в формулах (4.3) следует положить

$$N(t) = -N_0\delta(t) \quad (4.4)$$

и учесть, что

$$\int_{-\infty}^{\infty} \delta(t) \cos i(t-x) dt = \cos ix, \quad \int_{-\infty}^{\infty} \delta(t) \sin i(t-x) dt = -\sin ix \quad (4.5)$$

где $\delta(t)$ — функция Дирака.

5. Для примера рассмотрим неоднородную ортотропную полуплоскость и подкрепляющий стержень прямоугольного сечения $b \times 2h^*$ со следующими упругими, жесткостными и геометрическими характеристиками:

$$\frac{2h^*}{2h} = 2.5, \quad \frac{E^*}{E_1^{(0)}} = \frac{\bar{E}_1^{(0)}}{E_1^{(0)}} = 3.0, \quad g_1 = 2E^*bh^*, \quad b = 2h$$

$$g_2 = \frac{1}{6} E^* h^* b^2, \quad \gamma^* = \gamma_1 = 0.3, \quad z_1 = z_2 = h$$

На фиг. 2 изображена зависимость контактных усилий $N^{(0)}$ от координаты x при различных значениях параметра k , характеризующего степень неоднородности материала полуплоскости.

Вычисления контактных усилий производились на ЭВМ «Минск-22» по методу Гаусса с точностью до 10^{-3} знака.

Львовский государственный
университет им. И. Франко

Поступила 24 XI 1975

С. Л. МАРТЫНОВИЧ, В. Е. ЗУРИНЕЦ, И. А. НИЩЕНКО

ПРИЧАСТИЕ БУРДА, В. ЗОЛОТОУКИЙ ОРГАНІЗРАФ ЧОВНЯСЛІВІЧІВІЗАВІТ

І. І. Ф. П. Ф. П. С. І.

Задача про розподіл дисперсії тензора деформації в однорідній пластиці з краєм, який має відповідну структуру, є проблемою, яка виникає при виведенні теоретичних результатів з теорії пластичності.

NON-HOMOGENEOUS ORTHOTROPIC SEMI-PLANE WITH HINGED EDGE

T. L. MARTYNOVICH, V. E. YURINETS, I. A. NISHCHENKO

SUMMARY

By using the method of integral Fourier transformations the problem of strained state of a non-homogeneous orthotropic plate with hinged edge is solved.

LITERATURE

1. Левинштейн С. Г. Анизотропные пластинки. М.: Госгидтеориздат, 1957.